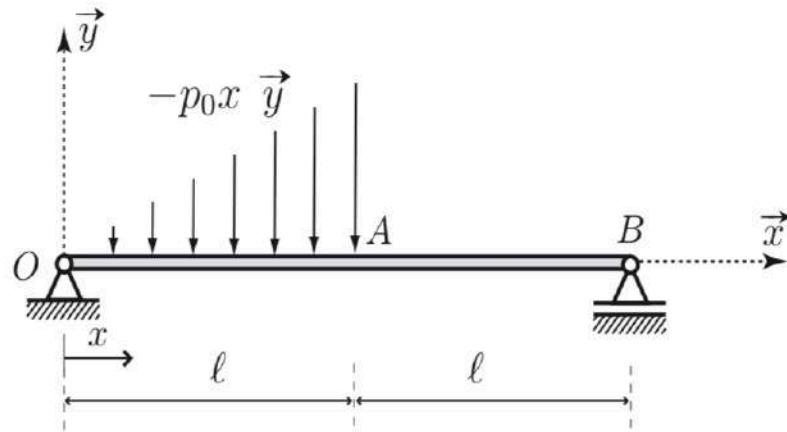


Écrit du mercredi 23 mai 2018

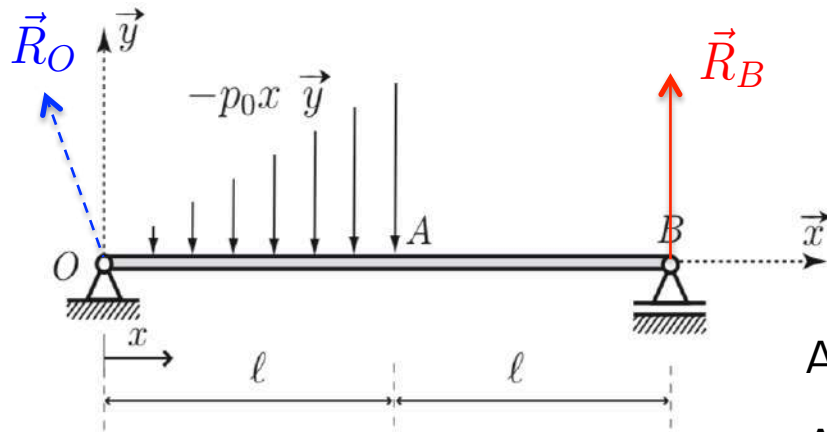


Choix de la base de Frenet :

$$ds = dx \quad \vec{t} = \vec{x}$$

$$\vec{n} = \vec{y} \quad \vec{b} = \vec{z}$$

Écrit du mercredi 23 mai 2018



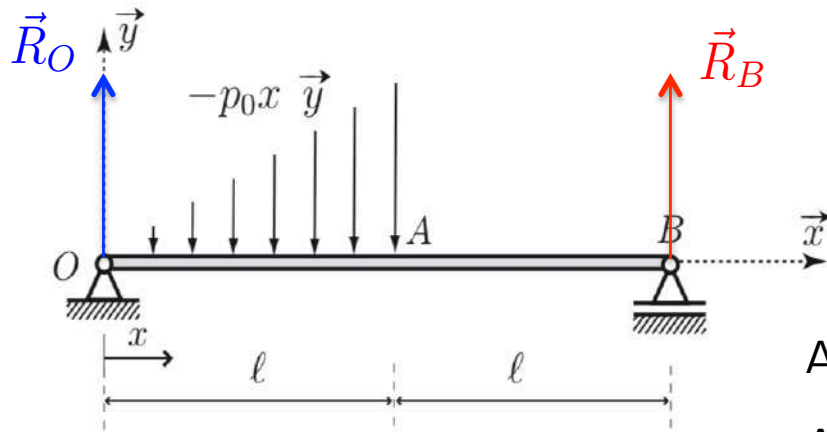
Choix de la base de Frenet :

$$\begin{aligned} ds &= dx & \vec{t} &= \vec{x} \\ \vec{n} &= \vec{y} & \vec{b} &= \vec{z} \end{aligned}$$

Appui simple fixe en  $O$  :  $\vec{R}_O = X_O \vec{x} + Y_O \vec{y}$

Appui simple mobile (glissant) en  $B$  :  $\vec{R}_B = Y_B \vec{y}$

Écrit du mercredi 23 mai 2018



Choix de la base de Frenet :

$$\begin{aligned} ds &= dx & \vec{t} &= \vec{x} \\ \vec{n} &= \vec{y} & \vec{b} &= \vec{z} \end{aligned}$$

Appui simple fixe en  $O$  :  $\vec{R}_O = X_O \vec{x} + Y_O \vec{y}$

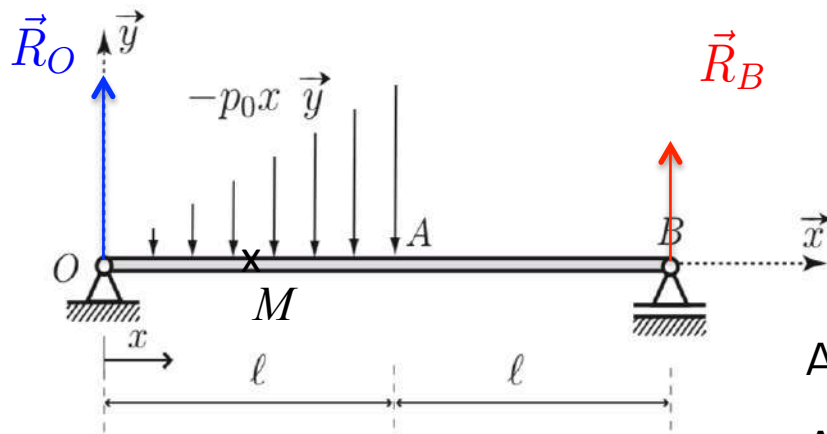
Appui simple mobile (glissant) en  $B$  :  $\vec{R}_B = Y_B \vec{y}$

Principe fondamental de la statique (ou **Équilibre global**), donne **efforts de liaison** :

- En **efforts** (théorème de la résultante) :

$$\vec{R}_O + \vec{R}_B + \int_0^\ell -p_0x \vec{y} \, dx = \vec{0} \quad \text{soit} \quad \boxed{X_O = 0} \quad \text{et} \quad Y_O + Y_B = \frac{p_0 \ell^2}{2}$$

Écrit du mercredi 23 mai 2018



Choix de la base de Frenet :

$$\begin{aligned} ds &= dx & \vec{t} &= \vec{x} \\ \vec{n} &= \vec{y} & \vec{b} &= \vec{z} \end{aligned}$$

Appui simple fixe en O :  $\vec{R}_O = X_O \vec{x} + Y_O \vec{y}$

Appui simple mobile (glissant) en B :  $\vec{R}_B = Y_B \vec{y}$

Principe fondamental de la statique (ou **Équilibre global**), donne **efforts de liaison** :

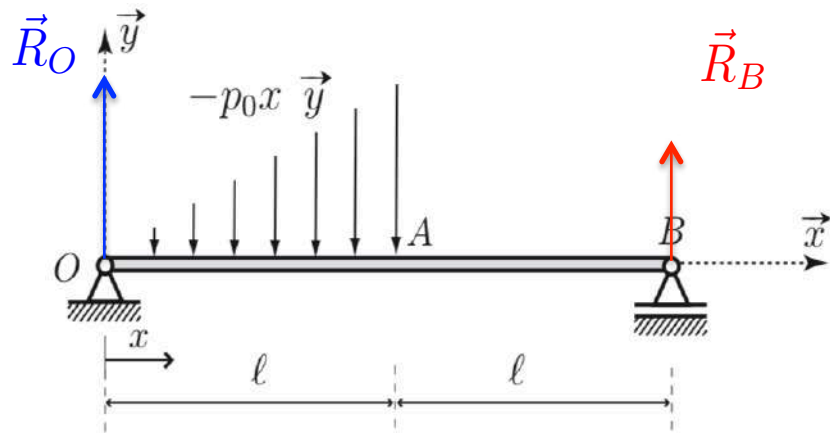
- En **efforts** (théorème de la résultante) :

$$\vec{R}_O + \vec{R}_B + \int_0^\ell -p_0 x \vec{y} dx = \vec{0} \quad \text{soit} \quad \boxed{X_O = 0} \quad \text{et} \quad Y_O + Y_B = \frac{p_0 \ell^2}{2}$$

- En **moments en O** (théorème du moment) :

$$\vec{OB} \wedge Y_B \vec{y} + \int_0^\ell \vec{OM} \wedge (-p_0 x) \vec{y} dx = \vec{0} \quad \Rightarrow \quad 2\ell Y_B - p_0 \left[ \frac{x^3}{3} \right]_0^\ell = 0$$

$$\text{soit} \quad \boxed{Y_B = \frac{p_0 \ell^2}{6}} \quad \text{puis} \quad \boxed{Y_O = \frac{p_0 \ell^2}{3}}$$

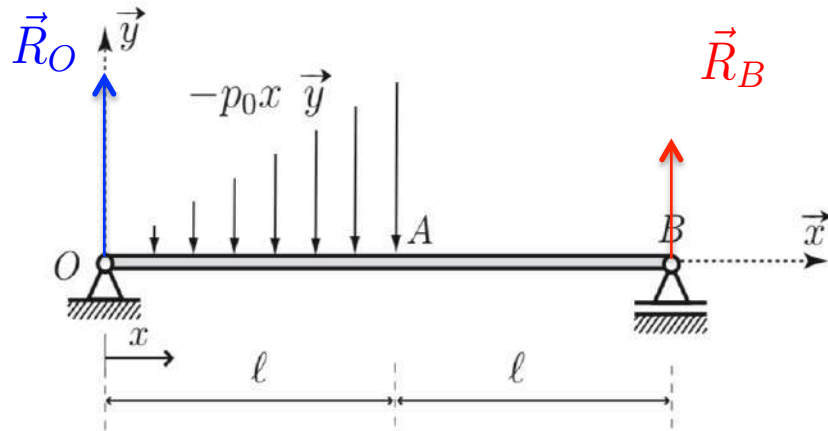


- $0 < x < \ell$

Équilibre **local** donne les **efforts de cohésion** :

- En *efforts* :

$$\frac{d\vec{\mathcal{R}}^{(1)}(x)}{dx} - p_0x \vec{y} = \vec{0}$$



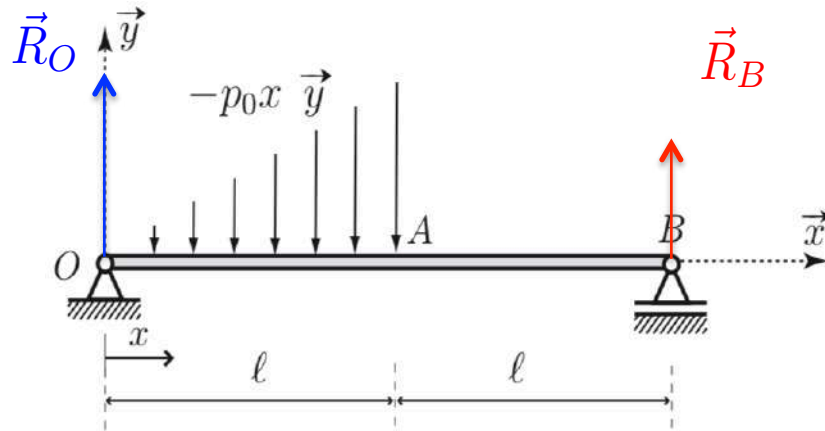
$$\bullet 0 < x < \ell$$

Équilibre **local** donne les **efforts de cohésion** :

- En *efforts* :

$$\frac{d\vec{\mathcal{R}}^{(1)}(x)}{dx} - p_0x \vec{y} = \vec{0}$$

$$\vec{\mathcal{R}}^{(1)}(x) = \frac{p_0x^2}{2} \vec{y} + \vec{C}_1 \quad \text{or} \quad \vec{\mathcal{R}}^{(1)}(0) = -Y_O \vec{y} = \vec{C}_1.$$



$$\bullet 0 < x < \ell$$

Équilibre **local** donne les **efforts de cohésion** :

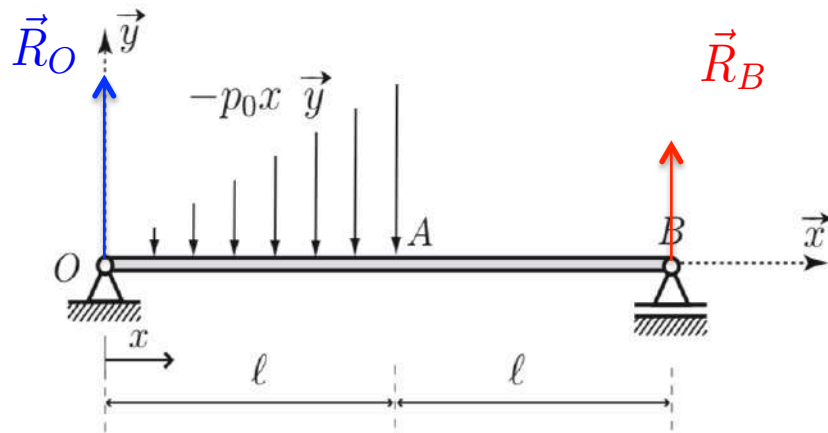
- En *efforts* :

$$\frac{d\vec{\mathcal{R}}^{(1)}(x)}{dx} - p_0 x \vec{y} = \vec{0}$$

$$\vec{\mathcal{R}}^{(1)}(x) = \frac{p_0 x^2}{2} \vec{y} + \vec{C}_1 \quad \text{or} \quad \vec{\mathcal{R}}^{(1)}(0) = -Y_O \vec{y} = \vec{C}_1.$$

En 2D on a :

$$\vec{\mathcal{R}}^{(1)}(x) = N^{(1)}(x) \vec{x} + T_y^{(1)}(x) \vec{y} = \left( \frac{p_0 x^2}{2} - Y_O \right) \vec{y}$$



$$\bullet 0 < x < \ell$$

Équilibre **local** donne les **efforts de cohésion** :

• En *efforts* :

$$\frac{d\vec{\mathcal{R}}^{(1)}(x)}{dx} - p_0 x \vec{y} = \vec{0}$$

$$\vec{\mathcal{R}}^{(1)}(x) = \frac{p_0 x^2}{2} \vec{y} + \vec{C}_1 \quad \text{or} \quad \vec{\mathcal{R}}^{(1)}(0) = -Y_O \vec{y} = \vec{C}_1.$$

En 2D on a :

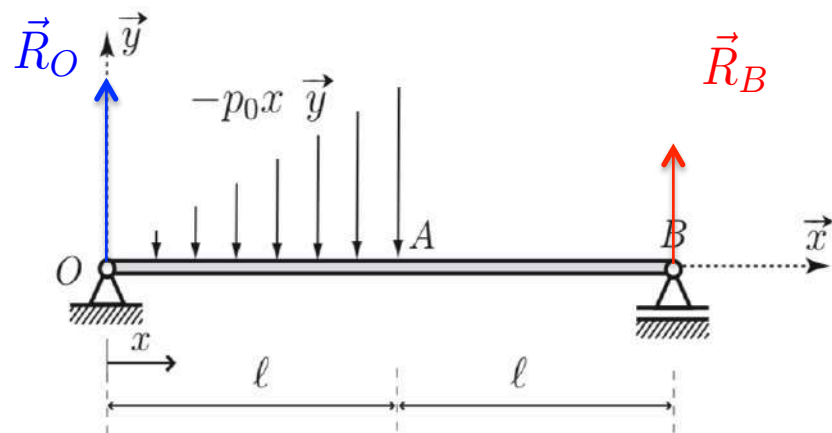
$$\vec{\mathcal{R}}^{(1)}(x) = N^{(1)}(x) \vec{x} + T_y^{(1)}(x) \vec{y} = \left( \frac{p_0 x^2}{2} - Y_O \right) \vec{y}$$

$$\Rightarrow \boxed{N^{(1)}(x) = 0} \quad \text{et} \quad \boxed{T_y^{(1)}(x) = \frac{p_0 x^2}{2} - Y_O = \frac{p_0}{6} (3x^2 - 2\ell^2)}$$

Effort normal nul

Effort tranchant sur y = quadratique

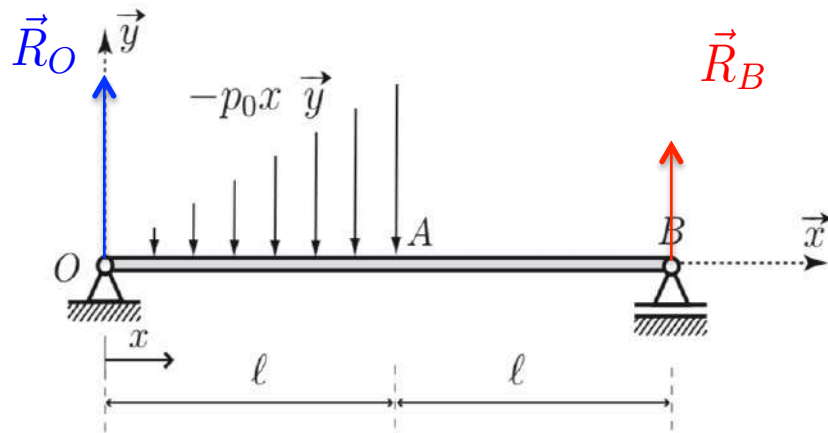




- En *moments* :

$$\frac{d\vec{\mathcal{M}}^{(1)}(x)}{dx} + \vec{x} \wedge \vec{\mathcal{R}}^{(1)}(x) = \vec{0}$$

$$\Rightarrow \frac{dM_z^{(1)}(x)}{dx} + T_y^{(1)}(x) = 0$$



On a alors :

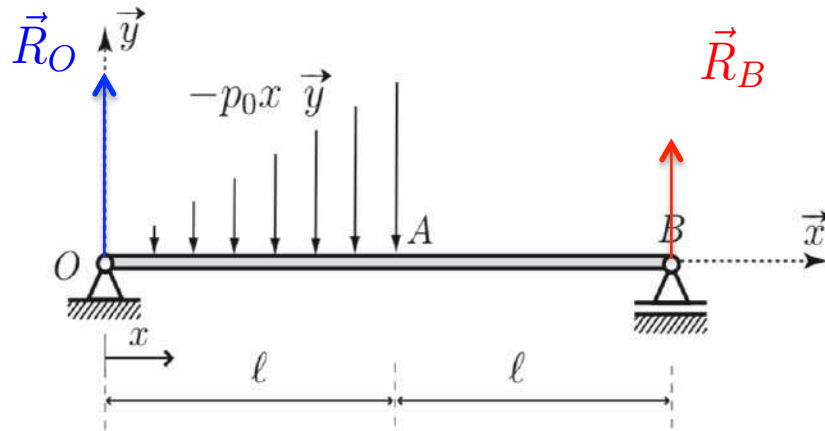
$$\frac{dM_z^{(1)}(x)}{dx} = -\frac{p_0 x^2}{2} + Y_O$$

• En *moments* :

$$\frac{d\vec{M}^{(1)}(x)}{dx} + \vec{x} \wedge \vec{R}^{(1)}(x) = \vec{0}$$

$$\Rightarrow \frac{dM_z^{(1)}(x)}{dx} + T_y^{(1)}(x) = 0$$

Soit :  $M_z^{(1)}(x) = -\frac{p_0 x^3}{6} + Y_O x + C_2.$



• En *moments* :

$$\frac{d\vec{\mathcal{M}}^{(1)}(x)}{dx} + \vec{x} \wedge \vec{\mathcal{R}}^{(1)}(x) = \vec{0}$$

$$\Rightarrow \frac{dM_z^{(1)}(x)}{dx} + T_y^{(1)}(x) = 0$$

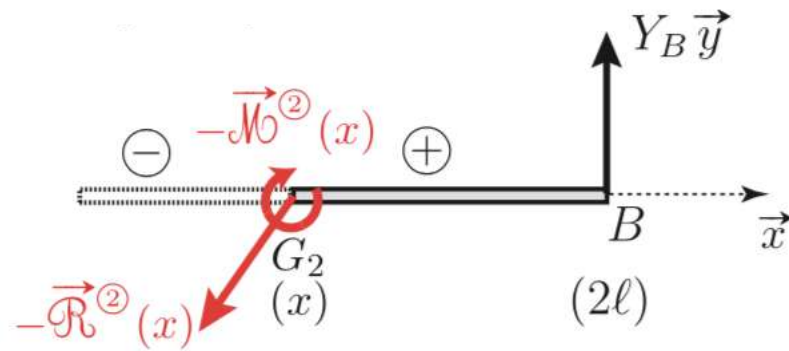
On a alors :

$$\frac{dM_z^{(1)}(x)}{dx} = -\frac{p_0 x^2}{2} + Y_O$$

Soit :  $M_z^{(1)}(x) = -\frac{p_0 x^3}{6} + Y_O x + C_2.$

Or  $M_z^{(1)}(0) = 0$  donc  $C_2 = 0$

$$\Rightarrow M_z^{(1)}(x) = -\frac{p_0 x^3}{6} + Y_O x = -\frac{p_0}{6} x (x^2 - 2\ell^2).$$

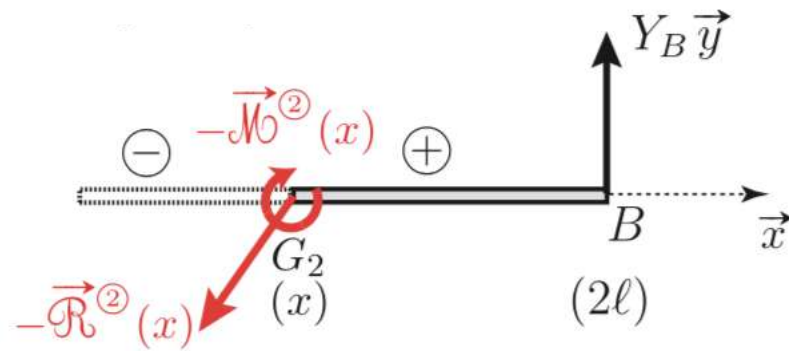


$$\bullet \ell < x < 2\ell$$

**Méthode des coupures** donne les **efforts de cohésion** :

On isole la partie droite, on considère donc les efforts de la partie (-) sur la partie (+)

$$\{\mathcal{C}_{\ominus \rightarrow \oplus}\}_{G_2} = - \left\{ \begin{array}{c} \vec{\mathcal{R}}^{(2)}(x) \\ \vec{\mathcal{M}}^{(2)}(x) \end{array} \right\}_{G_2}$$



$$\bullet \ell < x < 2\ell$$

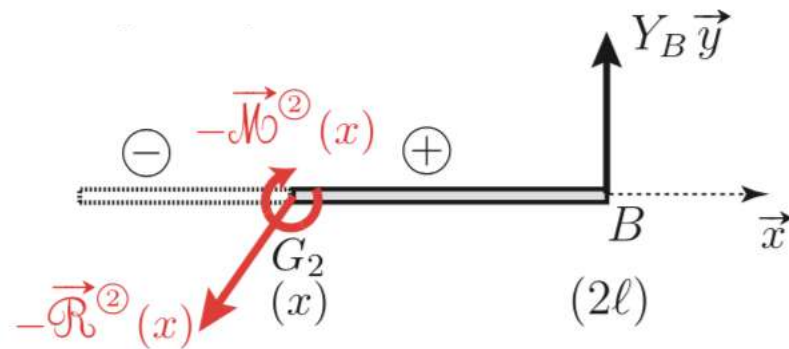
**Méthode des coupures** donne les **efforts de cohésion** :

On isole la partie droite, on considère donc les efforts de la partie [-] sur la partie [+]

$$\{\mathcal{C}_{\ominus \rightarrow \oplus}\}_{G_2} = - \left\{ \begin{array}{c} \vec{\mathcal{R}}^{(2)}(x) \\ \vec{\mathcal{M}}^{(2)}(x) \end{array} \right\}_{G_2}$$

• *En efforts* :

$$-\vec{\mathcal{R}}^{(2)}(x) + Y_B \vec{y} = \vec{0} \quad \text{donc} \quad \vec{\mathcal{R}}^{(2)}(x) = N^{(2)}(x) \vec{x} + T_y^{(2)}(x) \vec{y} = Y_B \vec{y}$$



$$\bullet \ell < x < 2\ell$$

**Méthode des coupures** donne les **efforts de cohésion** :

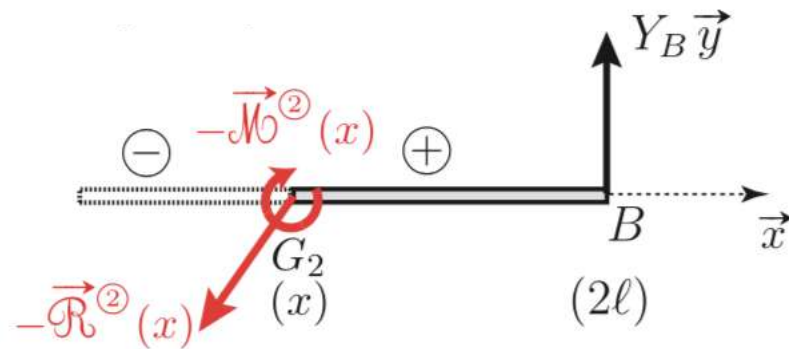
On isole la partie droite, on considère donc les efforts de la partie [-] sur la partie [+]

$$\{\mathcal{C}_{\ominus \rightarrow \oplus}\}_{G_2} = - \left\{ \begin{array}{c} \vec{\mathcal{R}}^{(2)}(x) \\ \vec{\mathcal{M}}^{(2)}(x) \end{array} \right\}_{G_2}$$

• *En efforts* :

$$-\vec{\mathcal{R}}^{(2)}(x) + Y_B \vec{y} = \vec{0} \quad \text{donc} \quad \vec{\mathcal{R}}^{(2)}(x) = N^{(2)}(x) \vec{x} + T_y^{(2)}(x) \vec{y} = Y_B \vec{y}$$

$$\Rightarrow \boxed{N^{(2)}(x) = 0} \quad \text{et} \quad \boxed{T_y^{(2)}(x) = Y_B = \frac{p_0 \ell^2}{6}}$$



$$\bullet \ell < x < 2\ell$$

**Méthode des coupures** donne les **efforts de cohésion** :

On isole la partie droite, on considère donc les efforts de la partie [-] sur la partie [+]

$$\{\mathcal{C}_{\ominus \rightarrow \oplus}\}_{G_2} = - \left\{ \begin{array}{c} \vec{\mathcal{R}}^{(2)}(x) \\ \vec{\mathcal{M}}^{(2)}(x) \end{array} \right\}_{G_2}$$

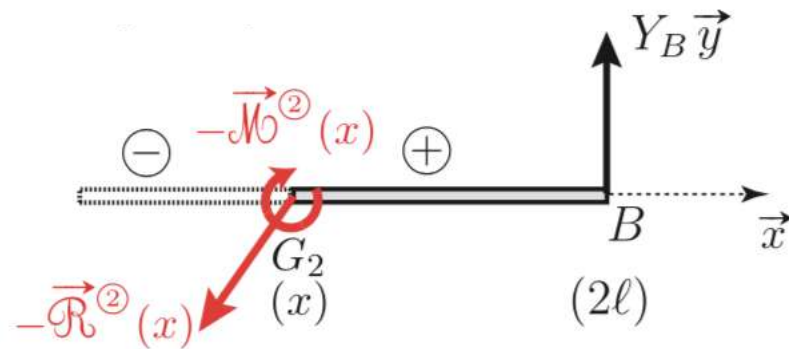
• *En efforts* :

$$-\vec{\mathcal{R}}^{(2)}(x) + Y_B \vec{y} = \vec{0} \quad \text{donc} \quad \vec{\mathcal{R}}^{(2)}(x) = N^{(2)}(x) \vec{x} + T_y^{(2)}(x) \vec{y} = Y_B \vec{y}$$

$$\Rightarrow \boxed{N^{(2)}(x) = 0} \quad \text{et} \quad \boxed{T_y^{(2)}(x) = Y_B = \frac{p_0 \ell^2}{6}}$$

• *En moments* :

$$-\vec{\mathcal{M}}^{(2)}(x) + \overrightarrow{G_2 B} \wedge Y_B \vec{y} = \vec{0} \quad \text{donc} \quad \vec{\mathcal{M}}^{(2)}(x) = M_z^{(2)}(x) \vec{z} = (2\ell - x) \vec{x} \wedge Y_B \vec{y}.$$



$$\bullet \ell < x < 2\ell$$

**Méthode des coupures** donne les **efforts de cohésion** :

On isole la partie droite, on considère donc les efforts de la partie [-] sur la partie [+]

$$\{\mathcal{C}_{\ominus \rightarrow \oplus}\}_{G_2} = - \left\{ \begin{array}{c} \vec{\mathcal{R}}^{(2)}(x) \\ \vec{\mathcal{M}}^{(2)}(x) \end{array} \right\}_{G_2}$$

• *En efforts* :

$$-\vec{\mathcal{R}}^{(2)}(x) + Y_B \vec{y} = \vec{0} \quad \text{donc} \quad \vec{\mathcal{R}}^{(2)}(x) = N^{(2)}(x) \vec{x} + T_y^{(2)}(x) \vec{y} = Y_B \vec{y}$$

$$\Rightarrow \boxed{N^{(2)}(x) = 0} \quad \text{et} \quad \boxed{T_y^{(2)}(x) = Y_B = \frac{p_0 \ell^2}{6}}$$

• *En moments* :

$$-\vec{\mathcal{M}}^{(2)}(x) + \overrightarrow{G_2 B} \wedge Y_B \vec{y} = \vec{0} \quad \text{donc} \quad \vec{\mathcal{M}}^{(2)}(x) = M_z^{(2)}(x) \vec{z} = (2\ell - x) \vec{x} \wedge Y_B \vec{y}$$

$$\Rightarrow \boxed{M_z^{(2)}(x) = -(x - 2\ell)Y_B = -\frac{p_0 \ell^2}{6}(x - 2\ell)}$$



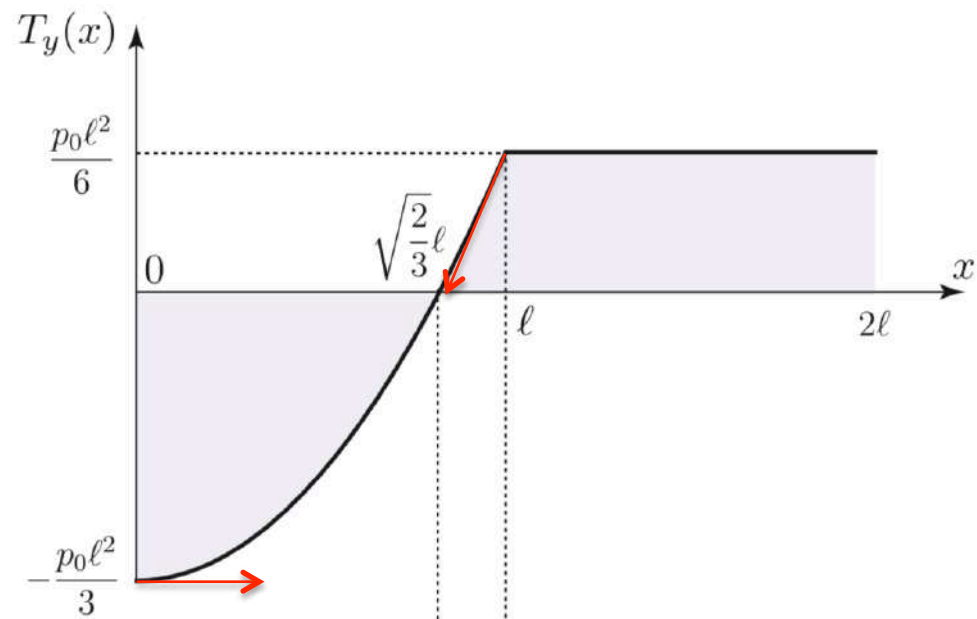
$$T_y^{(1)}(x) = \frac{p_0 x^2}{2} - Y_O = \frac{p_0}{6} (3x^2 - 2\ell^2)$$

$$T_y^{(2)}(x) = Y_B = \frac{p_0 \ell^2}{6}$$

$$\frac{dT_y^{(1)}}{dx} = p_0 x$$

$$\frac{dT_y^{(1)}}{dx}(x = 0) = 0$$

$$\frac{dT_y^{(1)}}{dx}(x = \ell) = p_0 \ell$$



$$T_y^{(1)}(x) = \frac{p_0 x^2}{2} - Y_O = \frac{p_0}{6} (3x^2 - 2\ell^2)$$

$$T_y^{(2)}(x) = Y_B = \frac{p_0 \ell^2}{6}$$

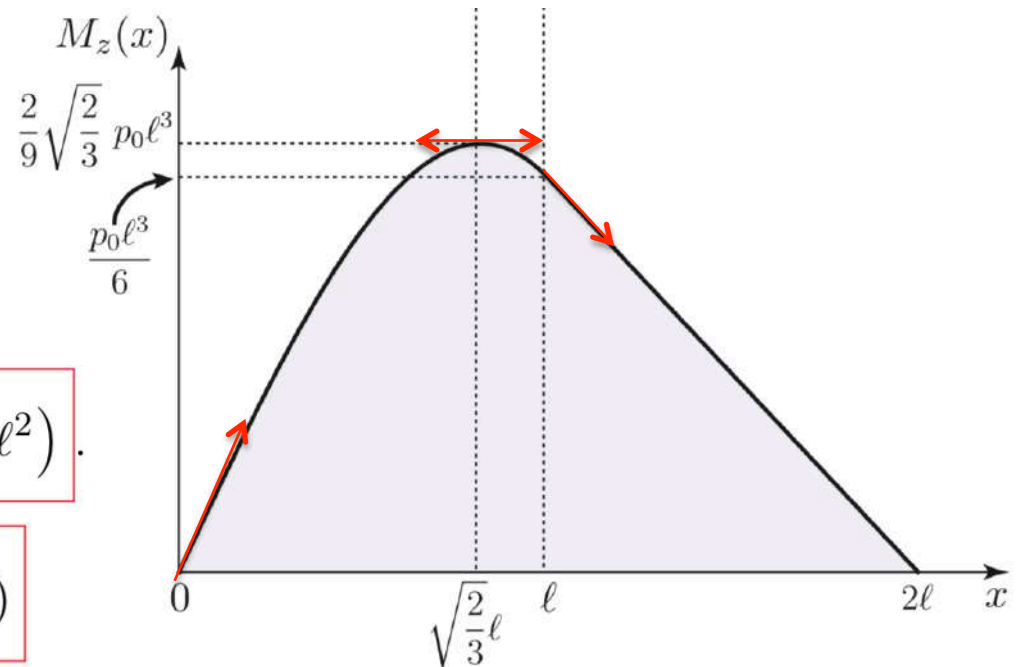
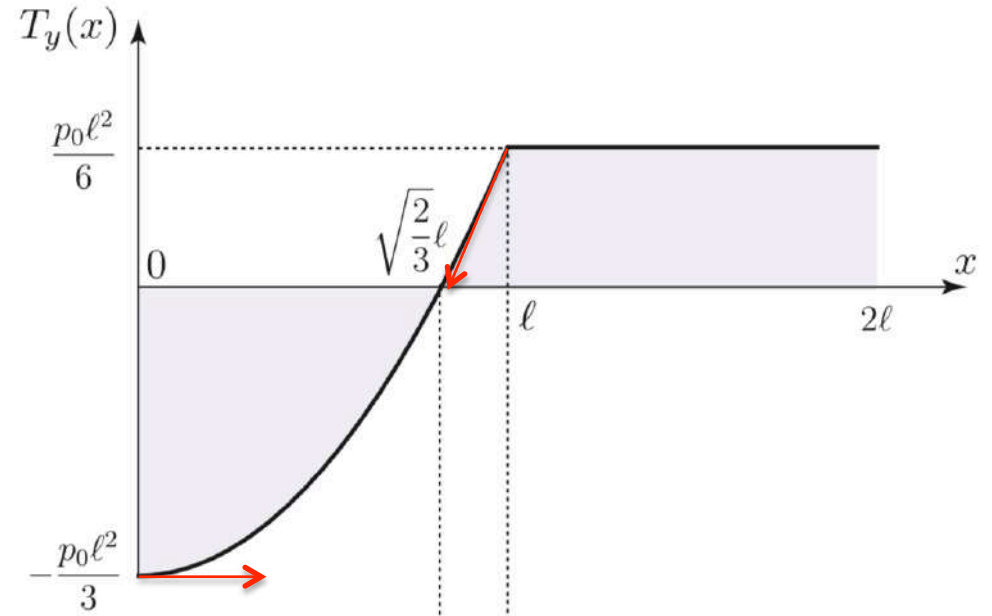
$$\frac{dM_z^{(1)}}{dx} = -\frac{p_0}{6} (3x^2 - 2\ell^2)$$

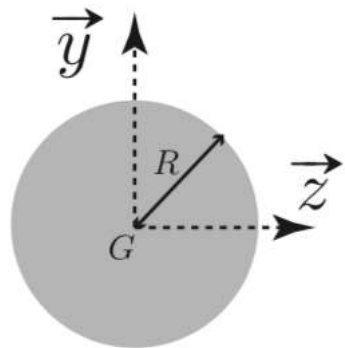
$$\frac{dM_z^{(1)}}{dx}(x=0) = \frac{p_0 \ell^2}{3}$$

$$\frac{dM_z^{(1)}}{dx} = 0 \rightarrow x = \sqrt{\frac{2}{3}}\ell$$

$$M_z^{(1)}(x) = -\frac{p_0 x^3}{6} + Y_O x = -\frac{p_0}{6} x (x^2 - 2\ell^2)$$

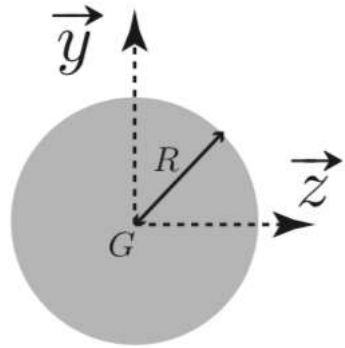
$$M_z^{(2)}(x) = -(x - 2\ell)Y_B = -\frac{p_0 \ell^2}{6} (x - 2\ell)$$





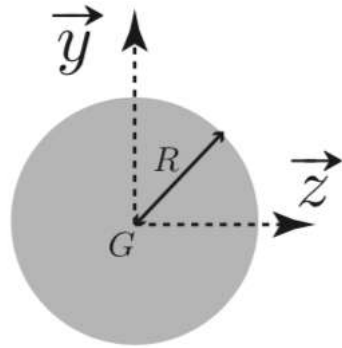
**Moment d'inertie suivant z :**

$$I_{Gz} = I = \int_0^{2\pi} \int_0^R (r \cos \theta)^2 r \, dr \, d\theta$$



**Moment d'inertie suivant z :**

$$\begin{aligned} I_{Gz} = I &= \int_0^{2\pi} \int_0^R (r \cos \theta)^2 r \, dr \, d\theta \\ &= \int_0^{2\pi} (\cos \theta)^2 \, d\theta \int_0^R r^3 \, dr = \boxed{\frac{\pi R^4}{4}} = \frac{\pi D^4}{64} \end{aligned}$$



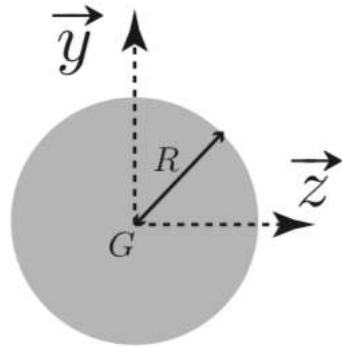
**Moment d'inertie suivant z :**

$$\begin{aligned}
 I_{Gz} = I &= \int_0^{2\pi} \int_0^R (r \cos \theta)^2 r \, dr \, d\theta \\
 &= \int_0^{2\pi} (\cos \theta)^2 \, d\theta \int_0^R r^3 \, dr = \boxed{\frac{\pi R^4}{4}} = \frac{\pi D^4}{64}
 \end{aligned}$$

**Contrainte normale :**

$$\sigma_{xx}(x, y, z) = \underbrace{\frac{N(x)}{S}}_{\text{traction-compression}} + \underbrace{z \frac{M_y(x)}{I_{Gy}} - y \frac{M_z(x)}{I_{Gz}}}_{\substack{\text{flexion} \\ \text{[évolution linéaire en y et z]}}}$$






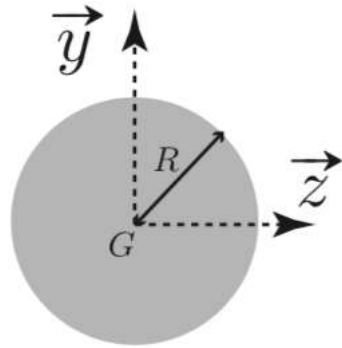
**Moment d'inertie suivant z :**

$$\begin{aligned}
 I_{Gz} = I &= \int_0^{2\pi} \int_0^R (r \cos \theta)^2 r \, dr \, d\theta \\
 &= \int_0^{2\pi} (\cos \theta)^2 \, d\theta \int_0^R r^3 \, dr = \boxed{\frac{\pi R^4}{4}} = \frac{\pi D^4}{64}
 \end{aligned}$$

**Contrainte normale :**

$$\sigma_{xx}(x, y, z) = \underbrace{\frac{N(x)}{S}}_{\text{traction-compression}} + \underbrace{z \frac{M_y(x)}{I_{Gy}} - y \frac{M_z(x)}{I_{Gz}}}_{\substack{\text{flexion} \\ \text{[évolution linéaire en y et z]}}}$$


Or :  $N(x) = M_y(x) = 0$  d'où :  $\sigma_{xx} = -y \frac{M_z(x)}{I_{Gz}} = -y \frac{M_z(x)}{I}$ .




**Moment d'inertie suivant z :**

$$I_{Gz} = I = \int_0^{2\pi} \int_0^R (r \cos \theta)^2 r dr d\theta$$

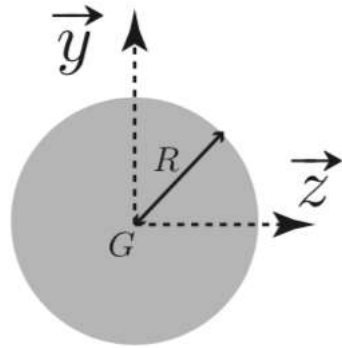
$$= \int_0^{2\pi} (\cos \theta)^2 d\theta \int_0^R r^3 dr = \boxed{\frac{\pi R^4}{4}} = \frac{\pi D^4}{64}$$

**Contrainte normale :**

$$\sigma_{xx}(x, y, z) = \underbrace{\frac{N(x)}{S}}_{\text{traction-compression}} + \underbrace{z \frac{M_y(x)}{I_{Gy}} - y \frac{M_z(x)}{I_{Gz}}}_{\substack{\text{flexion} \\ \text{[évolution linéaire en y et z]}}}$$


Or :  $N(x) = M_y(x) = 0$  d'où :  $\sigma_{xx} = -y \frac{M_z(x)}{I_{Gz}} = -y \frac{M_z(x)}{I}$ .

Au final :  $|\sigma_{xx}|_{max} = \frac{|y|_{max} |M_z(x)|_{max}}{I} = \frac{R \frac{2}{9} \sqrt{\frac{2}{3}} p_0 \ell^3}{\frac{\pi R^4}{4}} = \boxed{\frac{8}{9\pi} \sqrt{\frac{2}{3}} \frac{p_0 \ell^3}{R^3}}$




**Moment d'inertie suivant z :**

$$I_{Gz} = I = \int_0^{2\pi} \int_0^R (r \cos \theta)^2 r dr d\theta$$

$$= \int_0^{2\pi} (\cos \theta)^2 d\theta \int_0^R r^3 dr = \boxed{\frac{\pi R^4}{4}} = \frac{\pi D^4}{64}$$

**Contrainte normale :**

$$\sigma_{xx}(x, y, z) = \underbrace{\frac{N(x)}{S}}_{\text{traction-compression}} + \underbrace{z \frac{M_y(x)}{I_{Gy}} - y \frac{M_z(x)}{I_{Gz}}}_{\substack{\text{flexion} \\ \text{[évolution linéaire en y et z]}}}$$


Or :  $N(x) = M_y(x) = 0$  d'où :  $\sigma_{xx} = -y \frac{M_z(x)}{I_{Gz}} = -y \frac{M_z(x)}{I}$ .

Au final :  $|\sigma_{xx}|_{max} = \frac{|y|_{max} |M_z(x)|_{max}}{I} = \frac{R \frac{2}{9} \sqrt{\frac{2}{3}} p_0 \ell^3}{\frac{\pi R^4}{4}} = \boxed{\frac{8}{9\pi} \sqrt{\frac{2}{3}} \frac{p_0 \ell^3}{R^3}}$

**Dimensionnement :**

$$|\sigma_{xx}|_{max} \leq \sigma_\ell \quad \Rightarrow \quad \boxed{R \geq \left( \frac{8}{9} \sqrt{\frac{2}{3}} \frac{p_0}{\pi \sigma_\ell} \right)^{1/3} \ell = R_{min} .}$$



**Rotation de la section droite  $\omega_z(x)$  et flèche  $u_y(x)$ :**

En utilisant les lois de comportement :  $M_z = EI_{Gz} \frac{d\omega_z}{dx}$  et  $T_y = \mu S \underbrace{\left( \frac{du_y}{dx} - \omega_z \right)}_{\varepsilon_y}$

Hypothèse d'Euler Bernoulli :  $\varepsilon_y = 0 \rightarrow \omega_z(x) = \frac{du_y(x)}{dx}$

**Rotation de la section droite  $\omega_z(x)$  et flèche  $u_y(x)$ :**

En utilisant les lois de comportement :  $M_z = EI_{Gz} \frac{d\omega_z}{dx}$  et  $T_y = \underbrace{\mu S \left( \frac{du_y}{dx} - \omega_z \right)}_{\varepsilon_y}$

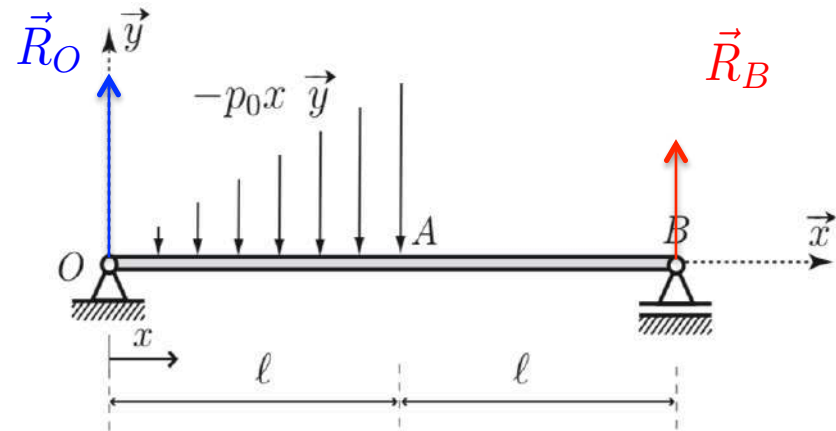
Hypothèse d'Euler Bernoulli :  $\varepsilon_y = 0 \rightarrow \omega_z(x) = \frac{du_y(x)}{dx}$

•  $0 < x < \ell$

$$EI\omega_z^{(1)}(x) = EI \frac{du_y^{(1)}(x)}{dx} = -\frac{p_0}{6} \left( \frac{x^4}{4} - \ell^2 x^2 \right) + C_1$$

$$EIu_y^{(1)}(x) = -\frac{p_0}{6} \left( \frac{x^5}{20} - \frac{\ell^2 x^3}{3} \right) + C_1 x + C_2$$

Or :  $u_y^{(1)}(0) = 0 \Rightarrow C_2 = 0$



**Rotation de la section droite  $\omega_z(x)$  et flèche  $u_y(x)$ :**

En utilisant les lois de comportement :  $M_z = EI_{Gz} \frac{d\omega_z}{dx}$  et  $T_y = \mu S \underbrace{\left( \frac{du_y}{dx} - \omega_z \right)}_{\varepsilon_y}$

Hypothèse d'Euler Bernoulli :  $\varepsilon_y = 0 \rightarrow \omega_z(x) = \frac{du_y(x)}{dx}$

•  $0 < x < \ell$

$$EI\omega_z^{(1)}(x) = EI \frac{du_y^{(1)}(x)}{dx} = -\frac{p_0}{6} \left( \frac{x^4}{4} - \ell^2 x^2 \right) + C_1$$

$$EIu_y^{(1)}(x) = -\frac{p_0}{6} \left( \frac{x^5}{20} - \frac{\ell^2 x^3}{3} \right) + C_1 x + C_2$$

Or :  $u_y^{(1)}(0) = 0 \Rightarrow \boxed{C_2 = 0}$

•  $\ell < x < 2\ell$

$$EI\omega_z^{(2)}(x) = EI \frac{du_y^{(2)}(x)}{dx} = -\frac{p_0 \ell^2}{12} (x - 2\ell)^2 + \bar{C}_1$$

$$EIu_y^{(2)}(x) = -\frac{p_0 \ell^2}{36} (x - 2\ell)^3 + \bar{C}_1 (x - 2\ell) + \bar{C}_2$$

Or :  $u_y^{(2)}(2\ell) = 0 \Rightarrow \boxed{\bar{C}_2 = 0}$

**Rotation de la section droite  $\omega_z(x)$  et flèche  $u_y(x)$ :**

En utilisant les lois de comportement :  $M_z = EI_{Gz} \frac{d\omega_z}{dx}$  et  $T_y = \mu S \underbrace{\left( \frac{du_y}{dx} - \omega_z \right)}_{\varepsilon_y}$

Hypothèse d'Euler Bernoulli :  $\varepsilon_y = 0 \rightarrow \omega_z(x) = \frac{du_y(x)}{dx}$

•  $0 < x < \ell$

$$EI\omega_z^{(1)}(x) = EI \frac{du_y^{(1)}(x)}{dx} = -\frac{p_0}{6} \left( \frac{x^4}{4} - \ell^2 x^2 \right) + C_1$$

$$EIu_y^{(1)}(x) = -\frac{p_0}{6} \left( \frac{x^5}{20} - \frac{\ell^2 x^3}{3} \right) + C_1 x + C_2$$

Or :  $u_y^{(1)}(0) = 0 \Rightarrow C_2 = 0$

•  $\ell < x < 2\ell$

$$EI\omega_z^{(2)}(x) = EI \frac{du_y^{(2)}(x)}{dx} = -\frac{p_0 \ell^2}{12} (x - 2\ell)^2 + \bar{C}_1$$

$$EIu_y^{(2)}(x) = -\frac{p_0 \ell^2}{36} (x - 2\ell)^3 + \bar{C}_1 (x - 2\ell) + \bar{C}_2$$

Or :  $u_y^{(2)}(2\ell) = 0 \Rightarrow \bar{C}_2 = 0$

Pour déterminer les constantes restantes il faut assurer la continuité de la rotation et de la flèche en  $x = \ell$

$$\square \omega_z^{(1)}(\ell) = \omega_z^{(2)}(\ell) \Rightarrow -\frac{p_0 \ell^4}{6} \left( \frac{1}{4} - 1 \right) + C_1 = -\frac{p_0 \ell^4}{12} + \bar{C}_1 \Rightarrow \bar{C}_1 - C_1 = \frac{5p_0 \ell^4}{24}$$

**Rotation de la section droite  $\omega_z(x)$  et flèche  $u_y(x)$ :**

En utilisant les lois de comportement :  $M_z = EI_{Gz} \frac{d\omega_z}{dx}$  et  $T_y = \mu S \underbrace{\left( \frac{du_y}{dx} - \omega_z \right)}_{\varepsilon_y}$

Hypothèse d'Euler Bernoulli :  $\varepsilon_y = 0 \rightarrow \omega_z(x) = \frac{du_y(x)}{dx}$

•  $0 < x < \ell$

$$EI\omega_z^{(1)}(x) = EI \frac{du_y^{(1)}(x)}{dx} = -\frac{p_0}{6} \left( \frac{x^4}{4} - \ell^2 x^2 \right) + C_1$$

$$EIu_y^{(1)}(x) = -\frac{p_0}{6} \left( \frac{x^5}{20} - \frac{\ell^2 x^3}{3} \right) + C_1 x + C_2$$

Or :  $u_y^{(1)}(0) = 0 \Rightarrow C_2 = 0$

•  $\ell < x < 2\ell$

$$EI\omega_z^{(2)}(x) = EI \frac{du_y^{(2)}(x)}{dx} = -\frac{p_0 \ell^2}{12} (x - 2\ell)^2 + \bar{C}_1$$

$$EIu_y^{(2)}(x) = -\frac{p_0 \ell^2}{36} (x - 2\ell)^3 + \bar{C}_1 (x - 2\ell) + \bar{C}_2$$

Or :  $u_y^{(2)}(2\ell) = 0 \Rightarrow \bar{C}_2 = 0$

Pour déterminer les constantes restantes il faut assurer la continuité de la rotation et de la flèche en  $x = \ell$

$$\square \omega_z^{(1)}(\ell) = \omega_z^{(2)}(\ell) \Rightarrow -\frac{p_0 \ell^4}{6} \left( \frac{1}{4} - 1 \right) + C_1 = -\frac{p_0 \ell^4}{12} + \bar{C}_1 \Rightarrow \bar{C}_1 - C_1 = \frac{5p_0 \ell^4}{24}$$

$$\square u_y^{(1)}(\ell) = u_y^{(2)}(\ell) \Rightarrow -\frac{p_0 \ell^5}{6} \left( \frac{1}{20} - \frac{1}{3} \right) + C_1 \ell = \frac{p_0 \ell^5}{36} - \bar{C}_1 \ell \Rightarrow \bar{C}_1 + C_1 = -\frac{7p_0 \ell^4}{360}$$

donc  $C_1 = -\frac{41p_0 \ell^4}{360}$  et  $\bar{C}_1 = \frac{34p_0 \ell^4}{360}$

Au final on obtient les résultats suivants :

$$EI\omega_z^{(1)}(x) = -\frac{p_0}{6} \left( \frac{x^4}{4} - \ell^2 x^2 \right) - \frac{41p_0\ell^4}{360}$$

$$EIu_y^{(1)}(x) = -\frac{p_0}{6} \left( \frac{x^5}{20} - \frac{\ell^2 x^3}{3} \right) - \frac{41p_0\ell^4}{360}x$$

$$EI\omega_z^{(2)}(x) = -\frac{p_0\ell^2}{12}(x - 2\ell)^2 + \frac{34p_0\ell^4}{360}$$

$$EIu_y^{(2)}(x) = -\frac{p_0\ell^2}{36}(x - 2\ell)^3 + \frac{34p_0\ell^4}{360}(x - 2\ell)$$

Au final on obtient les résultats suivants :

$$EI\omega_z^{①}(x) = -\frac{p_0}{6} \left( \frac{x^4}{4} - \ell^2 x^2 \right) - \frac{41p_0\ell^4}{360}$$

$$EIu_y^{①}(x) = -\frac{p_0}{6} \left( \frac{x^5}{20} - \frac{\ell^2 x^3}{3} \right) - \frac{41p_0\ell^4}{360}x$$

$$EI\omega_z^{②}(x) = -\frac{p_0\ell^2}{12}(x - 2\ell)^2 + \frac{34p_0\ell^4}{360}$$

$$EIu_y^{②}(x) = -\frac{p_0\ell^2}{36}(x - 2\ell)^3 + \frac{34p_0\ell^4}{360}(x - 2\ell)$$

On peut donc calculer la **rotation et la flèche en A** :

$$EI\omega_A = EI\omega_z^{②}(\ell) = -\frac{p_0\ell^4}{12} + \frac{34p_0\ell^4}{360} = \frac{4p_0\ell^4}{360} = \frac{p_0\ell^4}{90}.$$

$$\omega_A = \frac{p_0\ell^4}{90EI}$$

Au final on obtient les résultats suivants :

$$EI\omega_z^{(1)}(x) = -\frac{p_0}{6} \left( \frac{x^4}{4} - \ell^2 x^2 \right) - \frac{41p_0\ell^4}{360}$$

$$EIu_y^{(1)}(x) = -\frac{p_0}{6} \left( \frac{x^5}{20} - \frac{\ell^2 x^3}{3} \right) - \frac{41p_0\ell^4}{360}x$$

$$EI\omega_z^{(2)}(x) = -\frac{p_0\ell^2}{12}(x - 2\ell)^2 + \frac{34p_0\ell^4}{360}$$

$$EIu_y^{(2)}(x) = -\frac{p_0\ell^2}{36}(x - 2\ell)^3 + \frac{34p_0\ell^4}{360}(x - 2\ell)$$

On peut donc calculer la **rotation et la flèche en A** :

$$EI\omega_A = EI\omega_z^{(2)}(\ell) = -\frac{p_0\ell^4}{12} + \frac{34p_0\ell^4}{360} = \frac{4p_0\ell^4}{360} = \frac{p_0\ell^4}{90}.$$

$$\omega_A = \frac{p_0\ell^4}{90EI}$$

$$EIv_A = EIu_y^{(2)}(\ell) = \frac{p_0\ell^5}{36} - \frac{34p_0\ell^5}{360} = -\frac{24p_0\ell^5}{360} = -\frac{p_0\ell^5}{15}.$$

$$v_A = -\frac{p_0\ell^5}{15EI}$$



Au final on obtient les résultats suivants :

$$EI\omega_z^{(1)}(x) = -\frac{p_0}{6} \left( \frac{x^4}{4} - \ell^2 x^2 \right) - \frac{41p_0\ell^4}{360}$$

$$EIu_y^{(1)}(x) = -\frac{p_0}{6} \left( \frac{x^5}{20} - \frac{\ell^2 x^3}{3} \right) - \frac{41p_0\ell^4}{360}x$$

$$EI\omega_z^{(2)}(x) = -\frac{p_0\ell^2}{12}(x - 2\ell)^2 + \frac{34p_0\ell^4}{360}$$

$$EIu_y^{(2)}(x) = -\frac{p_0\ell^2}{36}(x - 2\ell)^3 + \frac{34p_0\ell^4}{360}(x - 2\ell)$$

On peut donc calculer la **rotation et la flèche en A** :

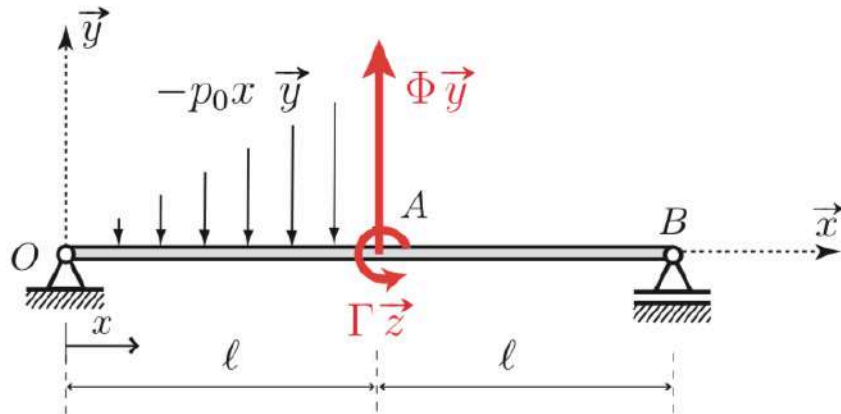
$$EI\omega_A = EI\omega_z^{(2)}(\ell) = -\frac{p_0\ell^4}{12} + \frac{34p_0\ell^4}{360} = \frac{4p_0\ell^4}{360} = \frac{p_0\ell^4}{90}.$$

$$\omega_A = \frac{p_0\ell^4}{90EI}$$

$$EIv_A = EIu_y^{(2)}(\ell) = \frac{p_0\ell^5}{36} - \frac{34p_0\ell^5}{360} = -\frac{24p_0\ell^5}{360} = -\frac{p_0\ell^5}{15}.$$

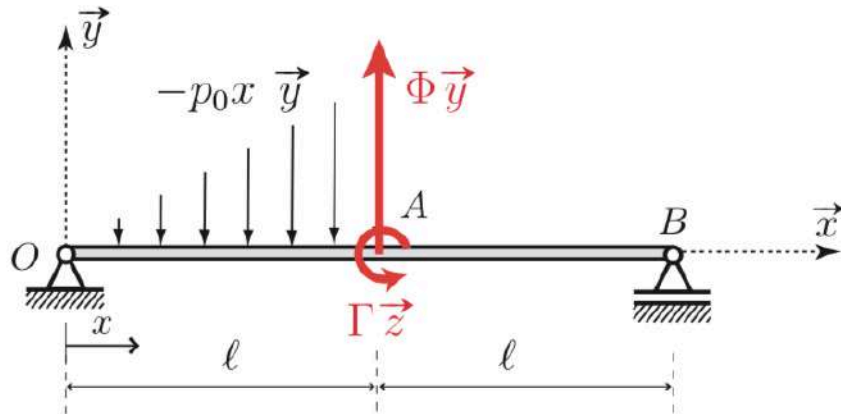
$$v_A = -\frac{p_0\ell^5}{15EI}$$

On propose ensuite de retrouver ces résultats par les **méthodes énergétiques**



## Méthode de la charge fictive (Théorème de Bertrand de Fontviolant)

On ajoute une **force ponctuelle** suivant  $y$  en  $A$  pour calculer la flèche et un **moment ponctuel** porté par  $z$  pour calculer la rotation.



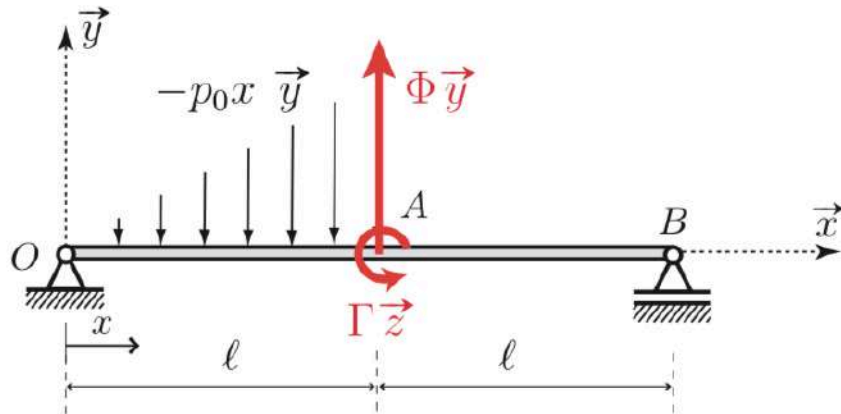
**Méthode de la charge fictive** (Théorème de Bertrand de Fontviolant)

On ajoute une **force ponctuelle** suivant  $y$  en  $A$  pour calculer la flèche et un **moment ponctuel** porté par  $z$  pour  $y$  calculer la rotation.

Équilibre **global**, donne **efforts de liaison** :

- En **efforts** :

$$\vec{R}_O + \vec{R}_B + \int_0^\ell -p_0x \vec{y} \, dx + \Phi \vec{y} = \vec{0} \quad \text{soit} \quad \boxed{X_O = 0} \quad \text{et} \quad Y_O + Y_B = \frac{p_0\ell^2}{2} - \Phi$$



**Méthode de la charge fictive** (Théorème de Bertrand de Fontviolant)

On ajoute une **force ponctuelle** suivant y en A pour calculer la flèche et un **moment ponctuel** porté par z pour y calculer la rotation.

Équilibre **global**, donne **efforts de liaison** :

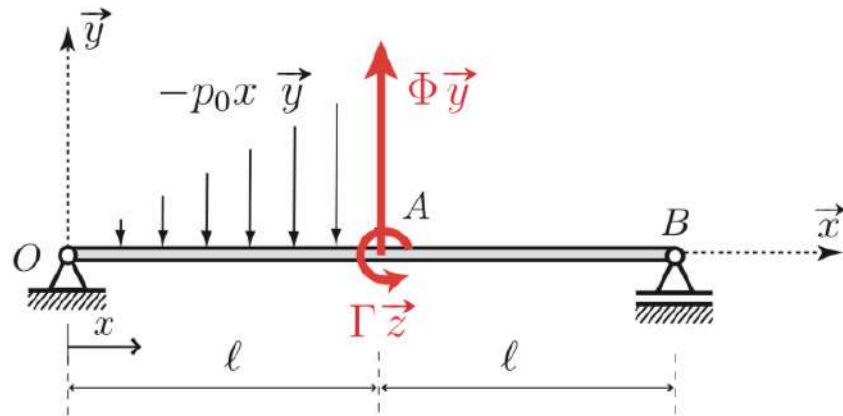
- En **efforts** :

$$\vec{R}_O + \vec{R}_B + \int_0^\ell -p_0 x \vec{y} \, dx + \Phi \vec{y} = \vec{0} \quad \text{soit} \quad \boxed{X_O = 0} \quad \text{et} \quad Y_O + Y_B = \frac{p_0 \ell^2}{2} - \Phi$$

- En **moments en O** :

$$\vec{OB} \wedge Y_B \vec{y} + \int_0^\ell \vec{OM} \wedge (-p_0 x) \vec{y} \, dx + \vec{OA} \wedge \Phi \vec{y} + \Gamma \vec{z} = \vec{0} \quad \Rightarrow \quad 2\ell Y_B - \frac{p_0 \ell^3}{3} + \ell \Phi + \Gamma = 0$$

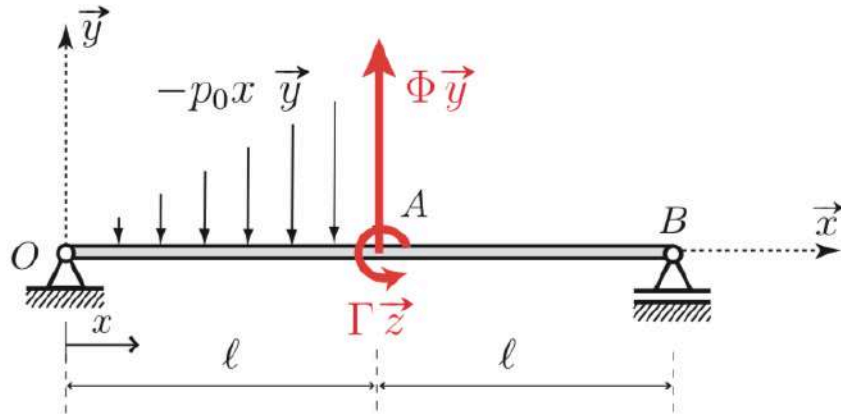
soit  $\boxed{Y_B = \frac{p_0 \ell^2}{6} - \frac{\Phi}{2} - \frac{\Gamma}{2\ell}}$  Et on en déduit :  $\boxed{Y_O = \frac{p_0 \ell^2}{3} - \frac{\Phi}{2} + \frac{\Gamma}{2\ell}}$ .



Équilibre **local** donne les **efforts de cohésion** :

Rq : on peut s'inspirer des résultats obtenus à la question 2 (en remplaçant  $R_0$  par sa valeur)

- $0 < x < \ell$        $M_z^{(1)}(x) = -\frac{p_0 x^3}{6} + Y_O x = -\frac{p_0 x^3}{6} + \left( \frac{p_0 \ell^2}{3} - \frac{\Phi}{2} + \frac{\Gamma}{2\ell} \right) x$
- $\ell < x < 2\ell$        $M_z^{(2)}(x) = -(x - 2\ell)Y_B = -\left( \frac{p_0 \ell^2}{6} - \frac{\Phi}{2} - \frac{\Gamma}{2\ell} \right) (x - 2\ell)$



Équilibre **local** donne les **efforts de cohésion** :

Rq : on peut s'inspirer des résultats obtenus à la question 2 (en remplaçant  $R_0$  par sa valeur)

- $0 < x < \ell$  
$$M_z^{(1)}(x) = -\frac{p_0 x^3}{6} + Y_O x = -\frac{p_0 x^3}{6} + \left( \frac{p_0 \ell^2}{3} - \frac{\Phi}{2} + \frac{\Gamma}{2\ell} \right) x$$
- $\ell < x < 2\ell$  
$$M_z^{(2)}(x) = -(x - 2\ell)Y_B = -\left( \frac{p_0 \ell^2}{6} - \frac{\Phi}{2} - \frac{\Gamma}{2\ell} \right) (x - 2\ell)$$

Efforts de liaison :  $\vec{R}_O$ ,  $\vec{R}_B$

Efforts de cohésion :  $N$ ,  $M_z$ ,  $T_y$

Énergie interne de déformation :  $U = \frac{1}{2} \int_0^{2\ell} \left( \frac{N^2}{ES} + \frac{M_z^2}{EI_{Gz}} + \frac{T_y^2}{\mu S} \right) dx$

Efforts de liaison :  $\vec{R}_O$ ,  $\vec{R}_B$

Efforts de cohésion :  $N$ ,  $M_z$ ,  $T_y$

Énergie interne de déformation :  $U \simeq \frac{1}{2} \int_0^{2\ell} \frac{M_z^2}{EI_{Gz}} dx$

Théorème de Castigliano appliquée au cas fictif :  $\delta_A = \frac{\partial U}{\partial \phi} \Big|_{\phi=0, \Gamma=0} = v_A$

$$v_A = \frac{\partial U}{\partial \Phi} \Big|_{(\Phi=0, \Gamma=0)} = \frac{\partial U}{\partial \Phi} \Big|_{\dagger}$$

Efforts de liaison :  $\vec{R}_O$ ,  $\vec{R}_B$

Efforts de cohésion :  $N$ ,  $M_z$ ,  $T_y$

Énergie interne de déformation :  $U \simeq \frac{1}{2} \int_0^{2\ell} \frac{M_z^2}{EI_{Gz}} dx$

Théorème de Castigliano appliquée au cas fictif :  $\delta_A = \frac{\partial U}{\partial \phi} \Big|_{\phi=0, \Gamma=0} = v_A$

$$\begin{aligned} v_A &= \frac{\partial U}{\partial \Phi} \Big|_{(\Phi=0, \Gamma=0)} = \frac{\partial U}{\partial \Phi} \Big|_{\dagger} \\ &= \frac{1}{EI} \left\{ \int_0^{\ell} M_z^{(1)}(x) \Big|_{\dagger} \frac{\partial M_z^{(1)}(x)}{\partial \Phi} \Big|_{\dagger} dx + \int_{\ell}^{2\ell} M_z^{(2)}(x) \Big|_{\dagger} \frac{\partial M_z^{(2)}(x)}{\partial \Phi} \Big|_{\dagger} dx \right\} \end{aligned}$$



Efforts de liaison :  $\vec{R}_O$ ,  $\vec{R}_B$

Efforts de cohésion :  $N$ ,  $M_z$ ,  $T_y$

Énergie interne de déformation :  $U \simeq \frac{1}{2} \int_0^{2\ell} \frac{M_z^2}{EI_{Gz}} dx$

Théorème de Castigliano appliquée au cas fictif :  $\delta_A = \frac{\partial U}{\partial \phi} \Big|_{\phi=0, \Gamma=0} = v_A$

$$v_A = \frac{\partial U}{\partial \Phi} \Big|_{(\Phi=0, \Gamma=0)} = \frac{\partial U}{\partial \Phi} \Big|_{\dagger}$$

$$= \frac{1}{EI} \left\{ \int_0^{\ell} M_z^{(1)}(x) \Big|_{\dagger} \frac{\partial M_z^{(1)}(x)}{\partial \Phi} \Big|_{\dagger} dx + \int_{\ell}^{2\ell} M_z^{(2)}(x) \Big|_{\dagger} \frac{\partial M_z^{(2)}(x)}{\partial \Phi} \Big|_{\dagger} dx \right\}$$

$$= \frac{1}{EI} \left\{ \int_0^{\ell} \left( -\frac{p_0 x^3}{6} + \frac{p_0 \ell^2}{3} x \right) \cdot \left( -\frac{x}{2} \right) dx + \int_{\ell}^{2\ell} \left( -\frac{p_0 \ell^2}{6} (x - 2\ell) \right) \cdot \left( \frac{1}{2} (x - 2\ell) \right) dx \right\}$$

Efforts de liaison :  $\vec{R}_O$ ,  $\vec{R}_B$

Efforts de cohésion :  $N$ ,  $M_z$ ,  $T_y$

Énergie interne de déformation :  $U \simeq \frac{1}{2} \int_0^{2\ell} \frac{M_z^2}{EI_{Gz}} dx$

Théorème de Castigliano appliquée au cas fictif :  $\delta_A = \frac{\partial U}{\partial \phi} \Big|_{\phi=0, \Gamma=0} = v_A$

$$v_A = \frac{\partial U}{\partial \Phi} \Big|_{(\Phi=0, \Gamma=0)} = \frac{\partial U}{\partial \Phi} \Big|_{\dagger}$$

$$\begin{aligned} &= \frac{1}{EI} \left\{ \int_0^\ell M_z^{(1)}(x) \Big|_{\dagger} \frac{\partial M_z^{(1)}(x)}{\partial \Phi} \Big|_{\dagger} dx + \int_\ell^{2\ell} M_z^{(2)}(x) \Big|_{\dagger} \frac{\partial M_z^{(2)}(x)}{\partial \Phi} \Big|_{\dagger} dx \right\} \\ &= \frac{1}{EI} \left\{ \int_0^\ell \left( -\frac{p_0 x^3}{6} + \frac{p_0 \ell^2}{3} x \right) \cdot \left( -\frac{x}{2} \right) dx + \int_\ell^{2\ell} \left( -\frac{p_0 \ell^2}{6} (x - 2\ell) \right) \cdot \left( \frac{1}{2} (x - 2\ell) \right) dx \right\} \\ &= \frac{p_0}{12EI} \left\{ \int_0^\ell (x^4 - 2\ell^2 x^2) dx - \ell^2 \int_\ell^{2\ell} (x - 2\ell)^2 dx \right\} \end{aligned}$$

Efforts de liaison :  $\vec{R}_O$ ,  $\vec{R}_B$

Efforts de cohésion :  $N$ ,  $M_z$ ,  $T_y$

Énergie interne de déformation :  $U \simeq \frac{1}{2} \int_0^{2\ell} \frac{M_z^2}{EI_{Gz}} dx$

Théorème de Castigliano appliquée au cas fictif :  $\delta_A = \frac{\partial U}{\partial \phi} \Big|_{\phi=0, \Gamma=0} = v_A$

$$\begin{aligned}
 v_A &= \frac{\partial U}{\partial \Phi} \Big|_{(\Phi=0, \Gamma=0)} = \frac{\partial U}{\partial \Phi} \Big|_{\dagger} \\
 &= \frac{1}{EI} \left\{ \int_0^{\ell} M_z^{(1)}(x) \Big|_{\dagger} \frac{\partial M_z^{(1)}(x)}{\partial \Phi} \Big|_{\dagger} dx + \int_{\ell}^{2\ell} M_z^{(2)}(x) \Big|_{\dagger} \frac{\partial M_z^{(2)}(x)}{\partial \Phi} \Big|_{\dagger} dx \right\} \\
 &= \frac{1}{EI} \left\{ \int_0^{\ell} \left( -\frac{p_0 x^3}{6} + \frac{p_0 \ell^2}{3} x \right) \cdot \left( -\frac{x}{2} \right) dx + \int_{\ell}^{2\ell} \left( -\frac{p_0 \ell^2}{6} (x - 2\ell) \right) \cdot \left( \frac{1}{2} (x - 2\ell) \right) dx \right\} \\
 &= \frac{p_0}{12EI} \left\{ \int_0^{\ell} (x^4 - 2\ell^2 x^2) dx - \ell^2 \int_{\ell}^{2\ell} (x - 2\ell)^2 dx \right\} \\
 &= \frac{p_0}{12EI} \left\{ \frac{\ell^5}{5} - 2\ell^2 \frac{\ell^3}{3} - \ell^2 \left[ \frac{X^3}{3} \right]_{-\ell}^0 \right\} = \frac{p_0 \ell^5}{12EI} \left\{ \frac{1}{5} - \frac{2}{3} - \frac{1}{3} \right\} = -\frac{p_0 \ell^5}{15EI}
 \end{aligned}$$

Efforts de liaison :  $\vec{R}_O$ ,  $\vec{R}_B$

Efforts de cohésion :  $N$ ,  $M_z$ ,  $T_y$

Énergie interne de déformation :  $U \simeq \frac{1}{2} \int_0^{2\ell} \frac{M_z^2}{EI_{Gz}} dx$

Théorème de Castigliano appliquée au cas fictif :  $\omega_A = \frac{\partial U}{\partial \Gamma} \Big|_{\phi=0, \Gamma=0}$

$$\omega_A = \frac{\partial U}{\partial \Gamma} \Big|_{(\Phi=0, \Gamma=0)} = \frac{\partial U}{\partial \Gamma} \Big|_{\dagger}$$

Efforts de liaison :  $\vec{R}_O$ ,  $\vec{R}_B$

Efforts de cohésion :  $N$ ,  $M_z$ ,  $T_y$

Énergie interne de déformation :  $U \simeq \frac{1}{2} \int_0^{2\ell} \frac{M_z^2}{EI_{Gz}} dx$

Théorème de Castigliano appliquée au cas fictif :  $\omega_A = \frac{\partial U}{\partial \Gamma} \Big|_{\phi=0, \Gamma=0}$

$$\begin{aligned} \omega_A &= \frac{\partial U}{\partial \Gamma} \Big|_{(\Phi=0, \Gamma=0)} = \frac{\partial U}{\partial \Gamma} \Big|_{\dagger} \\ &= \frac{1}{EI} \left\{ \int_0^{\ell} M_z^{(1)}(x) \Big|_{\dagger} \frac{\partial M_z^{(1)}(x)}{\partial \Gamma} \Big|_{\dagger} dx + \int_{\ell}^{2\ell} M_z^{(2)}(x) \Big|_{\dagger} \frac{\partial M_z^{(2)}(x)}{\partial \Gamma} \Big|_{\dagger} dx \right\} \end{aligned}$$

Efforts de liaison :  $\vec{R}_O$ ,  $\vec{R}_B$

Efforts de cohésion :  $N$ ,  $M_z$ ,  $T_y$

Énergie interne de déformation :  $U \simeq \frac{1}{2} \int_0^{2\ell} \frac{M_z^2}{EI_{Gz}} dx$

Théorème de Castigliano appliquée au cas fictif :  $\omega_A = \frac{\partial U}{\partial \Gamma} \Big|_{\phi=0, \Gamma=0}$

$$\omega_A = \frac{\partial U}{\partial \Gamma} \Big|_{(\Phi=0, \Gamma=0)} = \frac{\partial U}{\partial \Gamma} \Big|_{\dagger}$$

$$= \frac{1}{EI} \left\{ \int_0^{\ell} M_z^{(1)}(x) \Big|_{\dagger} \frac{\partial M_z^{(1)}(x)}{\partial \Gamma} \Big|_{\dagger} dx + \int_{\ell}^{2\ell} M_z^{(2)}(x) \Big|_{\dagger} \frac{\partial M_z^{(2)}(x)}{\partial \Gamma} \Big|_{\dagger} dx \right\}$$

$$= \frac{1}{EI} \left\{ \int_0^{\ell} \left( -\frac{p_0 x^3}{6} + \frac{p_0 \ell^2}{3} x \right) \cdot \left( \frac{x}{2\ell} \right) dx + \int_{\ell}^{2\ell} \left( -\frac{p_0 \ell^2}{6} (x - 2\ell) \right) \cdot \left( \frac{1}{2\ell} (x - 2\ell) \right) dx \right\}$$

Efforts de liaison :  $\vec{R}_O$ ,  $\vec{R}_B$

Efforts de cohésion :  $N$ ,  $M_z$ ,  $T_y$

Énergie interne de déformation :  $U \simeq \frac{1}{2} \int_0^{2\ell} \frac{M_z^2}{EI_{Gz}} dx$

Théorème de Castigliano appliquée au cas fictif :  $\omega_A = \frac{\partial U}{\partial \Gamma} \Big|_{\phi=0, \Gamma=0}$

$$\begin{aligned}\omega_A &= \frac{\partial U}{\partial \Gamma} \Big|_{(\Phi=0, \Gamma=0)} = \frac{\partial U}{\partial \Gamma} \Big|_{\dagger} \\&= \frac{1}{EI} \left\{ \int_0^{\ell} M_z^{(1)}(x) \Big|_{\dagger} \frac{\partial M_z^{(1)}(x)}{\partial \Gamma} \Big|_{\dagger} dx + \int_{\ell}^{2\ell} M_z^{(2)}(x) \Big|_{\dagger} \frac{\partial M_z^{(2)}(x)}{\partial \Gamma} \Big|_{\dagger} dx \right\} \\&= \frac{1}{EI} \left\{ \int_0^{\ell} \left( -\frac{p_0 x^3}{6} + \frac{p_0 \ell^2}{3} x \right) \cdot \left( \frac{x}{2\ell} \right) dx + \int_{\ell}^{2\ell} \left( -\frac{p_0 \ell^2}{6} (x - 2\ell) \right) \cdot \left( \frac{1}{2\ell} (x - 2\ell) \right) dx \right\} \\&= \frac{p_0}{12EI\ell} \left\{ \int_0^{\ell} -\left( x^4 - 2\ell^2 x^2 \right) dx - \ell^2 \int_{\ell}^{2\ell} (x - 2\ell)^2 dx \right\}\end{aligned}$$

Efforts de liaison :  $\vec{R}_O$ ,  $\vec{R}_B$

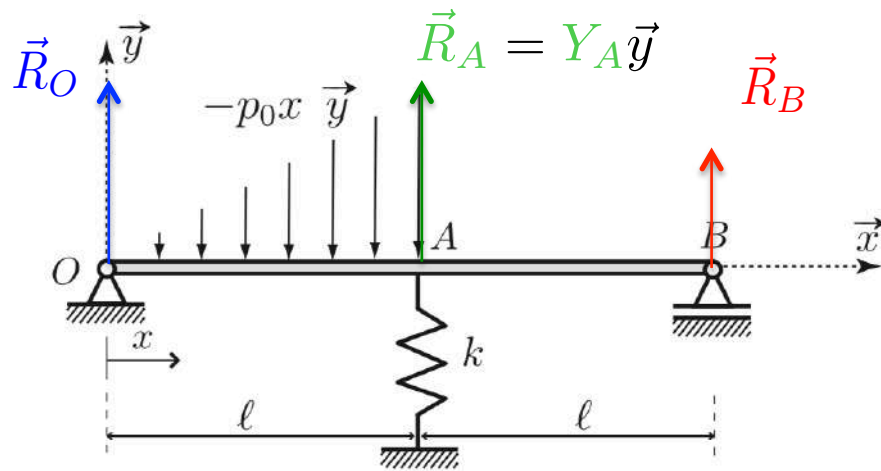
Efforts de cohésion :  $N$ ,  $M_z$ ,  $T_y$

Énergie interne de déformation :  $U \simeq \frac{1}{2} \int_0^{2\ell} \frac{M_z^2}{EI_{Gz}} dx$

Théorème de Castigliano appliquée au cas fictif :  $\omega_A = \frac{\partial U}{\partial \Gamma} \Big|_{\phi=0, \Gamma=0}$

$$\begin{aligned}\omega_A &= \frac{\partial U}{\partial \Gamma} \Big|_{(\Phi=0, \Gamma=0)} = \frac{\partial U}{\partial \Gamma} \Big|_{\dagger} \\&= \frac{1}{EI} \left\{ \int_0^{\ell} M_z^{(1)}(x) \Big|_{\dagger} \frac{\partial M_z^{(1)}(x)}{\partial \Gamma} \Big|_{\dagger} dx + \int_{\ell}^{2\ell} M_z^{(2)}(x) \Big|_{\dagger} \frac{\partial M_z^{(2)}(x)}{\partial \Gamma} \Big|_{\dagger} dx \right\} \\&= \frac{1}{EI} \left\{ \int_0^{\ell} \left( -\frac{p_0 x^3}{6} + \frac{p_0 \ell^2}{3} x \right) \cdot \left( \frac{x}{2\ell} \right) dx + \int_{\ell}^{2\ell} \left( -\frac{p_0 \ell^2}{6} (x - 2\ell) \right) \cdot \left( \frac{1}{2\ell} (x - 2\ell) \right) dx \right\} \\&= \frac{p_0}{12EI\ell} \left\{ \int_0^{\ell} -\left( x^4 - 2\ell^2 x^2 \right) dx - \ell^2 \int_{\ell}^{2\ell} (x - 2\ell)^2 dx \right\} \\&= \frac{p_0 \ell^4}{12EI} \left\{ -\frac{1}{5} + \frac{2}{3} - \frac{1}{3} \right\} = \frac{p_0 \ell^4}{12EI} \frac{2}{15} = \frac{p_0 \ell^4}{90EI}\end{aligned}$$

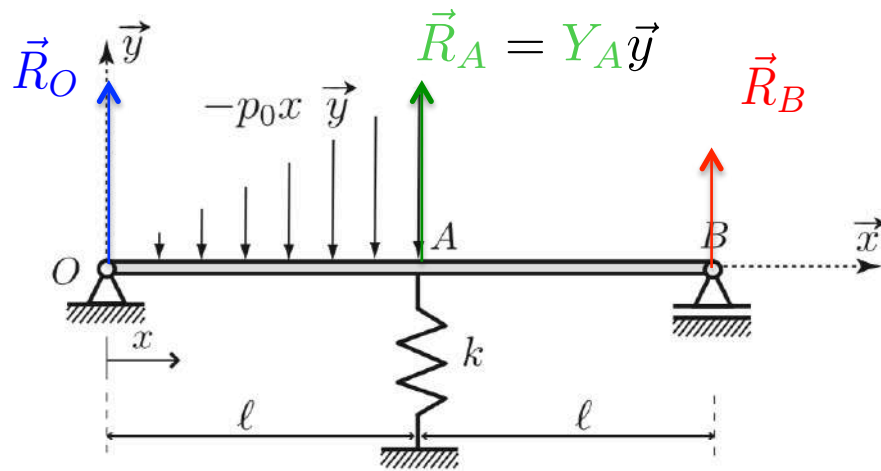




Cas **hyperstatique** de degré 1

Loi de comportement du ressort :

$$Y_A = -kv_A$$



Cas **hyperstatique** de degré 1

Loi de comportement du ressort :

$$Y_A = -kv_A$$

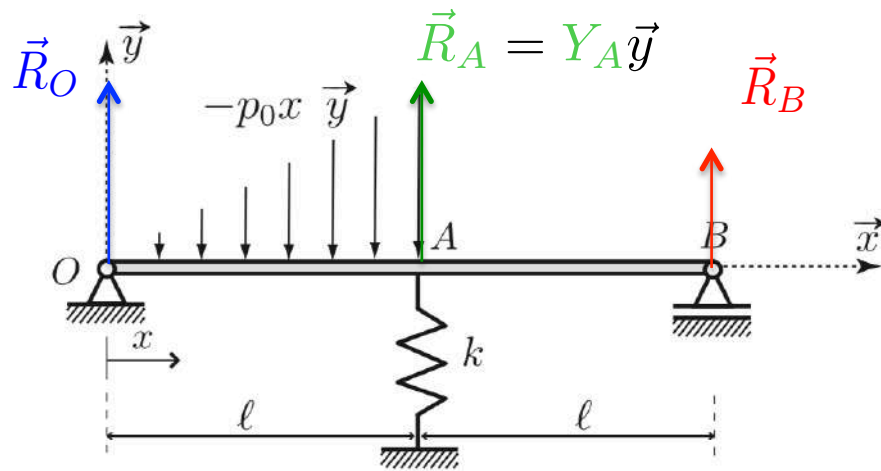
Équilibre **local** donne les efforts de **cohésion**

Rappel dans le cas de la **charge fictive** :

- $0 < x < \ell$   $M_z^{(1)}(x) = -\frac{p_0 x^3}{6} + Y_O x = -\frac{p_0 x^3}{6} + \left( \frac{p_0 \ell^2}{3} - \frac{\Phi}{2} + \frac{\Gamma}{2\ell} \right) x$
- $\ell < x < 2\ell$   $M_z^{(2)}(x) = -(x - 2\ell)Y_B = -\left( \frac{p_0 \ell^2}{6} - \frac{\Phi}{2} - \frac{\Gamma}{2\ell} \right) (x - 2\ell)$

Adaptation au cas **hyperstatique** :

- $0 < x < \ell$   $M_z^{(1)}(x) = -\frac{p_0 x^3}{6} + \left( \frac{p_0 \ell^2}{3} - \frac{Y_A}{2} \right) x$
- $\ell < x < 2\ell$   $M_z^{(2)}(x) = -\left( \frac{p_0 \ell^2}{6} - \frac{Y_A}{2} \right) (x - 2\ell)$



Efforts de liaison :  $\vec{R}_O$ ,  $\vec{R}_A$

Efforts de cohésion :  $N$ ,  $M_z$ ,  $T_y$

Énergie interne de déformation :  $U = \frac{1}{2} \int_0^{2\ell} \left( \frac{N^2}{ES} + \frac{M_z^2}{EI_{Gz}} + \frac{T_y^2}{\mu S} \right) dx + \frac{1}{2} k v_A^2$

$$U \simeq \frac{1}{2} \int_0^{2\ell} \frac{M_z^2}{EI_{Gz}} dx + \frac{1}{2} \frac{Y_A^2}{k}$$

Théorème de Menabrea :  $\frac{\partial U}{\partial Y_A} = 0$

Système {poutre+ressort}

Énergie de **déformation élastique** :  $U \simeq \frac{1}{2} \int_0^{2\ell} \frac{\textcolor{red}{M}_z^2}{EI_{Gz}} dx + \frac{1}{2} \frac{\textcolor{green}{Y}_A^2}{k}$

$$U = \frac{1}{2} \int_0^\ell \frac{\left(M_z^{(1)}(x)\right)^2}{EI} dx + \frac{1}{2} \int_\ell^{2\ell} \frac{\left(M_z^{(2)}(x)\right)^2}{EI} dx + \frac{1}{2} \frac{Y_A^2}{k}$$

Énergie de **déformation élastique** :  $U \simeq \frac{1}{2} \int_0^{2\ell} \frac{\textcolor{red}{M}_z^2}{EI_{Gz}} dx + \frac{1}{2} \frac{\textcolor{green}{Y}_A^2}{k}$

$$U = \frac{1}{2} \int_0^\ell \frac{\left(M_z^{(1)}(x)\right)^2}{EI} dx + \frac{1}{2} \int_\ell^{2\ell} \frac{\left(M_z^{(2)}(x)\right)^2}{EI} dx + \frac{1}{2} \frac{Y_A^2}{k}$$

On « passe » la dérivée dans l'intégrale pour appliquer Menabrea :  $\frac{\partial U}{\partial \textcolor{green}{Y}_A} = 0$

$$0 = \frac{\partial U}{\partial Y_A} = \frac{1}{EI} \left\{ \int_0^\ell M_z^{(1)}(x) \frac{\partial M_z^{(1)}(x)}{\partial Y_A} dx + \int_\ell^{2\ell} M_z^{(2)}(x) \frac{\partial M_z^{(2)}(x)}{\partial Y_A} dx \right\} + \frac{Y_A}{k}$$

Énergie de **déformation élastique** :  $U \simeq \frac{1}{2} \int_0^{2\ell} \frac{\textcolor{red}{M}_z^2}{EI_{Gz}} dx + \frac{1}{2} \frac{\textcolor{green}{Y}_A^2}{k}$

$$U = \frac{1}{2} \int_0^\ell \frac{\left(M_z^{(1)}(x)\right)^2}{EI} dx + \frac{1}{2} \int_\ell^{2\ell} \frac{\left(M_z^{(2)}(x)\right)^2}{EI} dx + \frac{1}{2} \frac{Y_A^2}{k}$$

On « passe » la dérivée dans l'intégrale pour appliquer Menabrea :  $\frac{\partial U}{\partial \textcolor{green}{Y}_A} = 0$

$$\begin{aligned} 0 &= \frac{\partial U}{\partial Y_A} = \frac{1}{EI} \left\{ \int_0^\ell M_z^{(1)}(x) \frac{\partial M_z^{(1)}(x)}{\partial Y_A} dx + \int_\ell^{2\ell} M_z^{(2)}(x) \frac{\partial M_z^{(2)}(x)}{\partial Y_A} dx \right\} + \frac{Y_A}{k} \\ &= \frac{1}{EI} \int_0^\ell \left( -\frac{p_0 x^3}{6} + \left( \frac{p_0 \ell^2}{3} - \frac{Y_A}{2} \right) x \right) \cdot \left( -\frac{x}{2} \right) dx \\ &\quad + \frac{1}{EI} \int_\ell^{2\ell} \left( -\left( \frac{p_0 \ell^2}{6} - \frac{Y_A}{2} \right) (x - 2\ell) \right) \cdot \left( \frac{1}{2} (x - 2\ell) \right) dx + \frac{Y_A}{k} \end{aligned}$$

Énergie de **déformation élastique** :  $U \simeq \frac{1}{2} \int_0^{2\ell} \frac{M_z^2}{EI_{Gz}} dx + \frac{1}{2} \frac{Y_A^2}{k}$

$$U = \frac{1}{2} \int_0^\ell \frac{(M_z^{(1)}(x))^2}{EI} dx + \frac{1}{2} \int_\ell^{2\ell} \frac{(M_z^{(2)}(x))^2}{EI} dx + \frac{1}{2} \frac{Y_A^2}{k}$$

On « passe » la dérivée dans l'intégrale pour appliquer Menabrea :  $\frac{\partial U}{\partial Y_A} = 0$

$$\begin{aligned} 0 &= \frac{\partial U}{\partial Y_A} = \frac{1}{EI} \left\{ \int_0^\ell M_z^{(1)}(x) \frac{\partial M_z^{(1)}(x)}{\partial Y_A} dx + \int_\ell^{2\ell} M_z^{(2)}(x) \frac{\partial M_z^{(2)}(x)}{\partial Y_A} dx \right\} + \frac{Y_A}{k} \\ &= \frac{1}{EI} \int_0^\ell \left( -\frac{p_0 x^3}{6} + \left( \frac{p_0 \ell^2}{3} - \frac{Y_A}{2} \right) x \right) \cdot \left( -\frac{x}{2} \right) dx \\ &\quad + \frac{1}{EI} \int_\ell^{2\ell} \left( -\left( \frac{p_0 \ell^2}{6} - \frac{Y_A}{2} \right) (x - 2\ell) \right) \cdot \left( \frac{1}{2} (x - 2\ell) \right) dx + \frac{Y_A}{k} \\ &= -\frac{p_0 \ell^5}{15EI} + \frac{Y_A}{4EI} \left\{ \int_0^\ell x^2 dx + \int_\ell^{2\ell} (x - 2\ell)^2 dx \right\} + \frac{Y_A}{k} \end{aligned}$$

Énergie de **déformation élastique** :  $U \simeq \frac{1}{2} \int_0^{2\ell} \frac{M_z^2}{EI_{Gz}} dx + \frac{1}{2} \frac{Y_A^2}{k}$

$$U = \frac{1}{2} \int_0^{\ell} \frac{(M_z^{(1)}(x))^2}{EI} dx + \frac{1}{2} \int_{\ell}^{2\ell} \frac{(M_z^{(2)}(x))^2}{EI} dx + \frac{1}{2} \frac{Y_A^2}{k}$$

On « passe » la dérivée dans l'intégrale pour appliquer Menabrea :  $\frac{\partial U}{\partial Y_A} = 0$

$$\begin{aligned} 0 &= \frac{\partial U}{\partial Y_A} = \frac{1}{EI} \left\{ \int_0^{\ell} M_z^{(1)}(x) \frac{\partial M_z^{(1)}(x)}{\partial Y_A} dx + \int_{\ell}^{2\ell} M_z^{(2)}(x) \frac{\partial M_z^{(2)}(x)}{\partial Y_A} dx \right\} + \frac{Y_A}{k} \\ &= \frac{1}{EI} \int_0^{\ell} \left( -\frac{p_0 x^3}{6} + \left( \frac{p_0 \ell^2}{3} - \frac{Y_A}{2} \right) x \right) \cdot \left( -\frac{x}{2} \right) dx \\ &\quad + \frac{1}{EI} \int_{\ell}^{2\ell} \left( -\left( \frac{p_0 \ell^2}{6} - \frac{Y_A}{2} \right) (x - 2\ell) \right) \cdot \left( \frac{1}{2} (x - 2\ell) \right) dx + \frac{Y_A}{k} \\ &= -\frac{p_0 \ell^5}{15EI} + \frac{Y_A}{4EI} \left\{ \int_0^{\ell} x^2 dx + \int_{\ell}^{2\ell} (x - 2\ell)^2 dx \right\} + \frac{Y_A}{k} \\ &= -\frac{p_0 \ell^5}{15EI} + \frac{Y_A}{4EI} \left\{ \frac{\ell^3}{3} + \left[ \frac{X^3}{3} \right]_{-\ell}^0 \right\} + \frac{Y_A}{k} = -\frac{p_0 \ell^5}{15EI} + Y_A \left\{ \frac{\ell^3}{6EI} + \frac{1}{k} \right\} \end{aligned}$$



$$-\frac{p_0 \ell^5}{15EI} + Y_A \left\{ \frac{\ell^3}{6EI} + \frac{1}{k} \right\} = 0 \rightarrow Y_A = \frac{\frac{p_0 \ell^5}{15EI}}{\frac{\ell^3}{6EI} + \frac{1}{k}}$$

$$-\frac{p_0 \ell^5}{15EI} + Y_A \left\{ \frac{\ell^3}{6EI} + \frac{1}{k} \right\} = 0 \rightarrow Y_A = \frac{\frac{p_0 \ell^5}{15EI}}{\frac{\ell^3}{6EI} + \frac{1}{k}}$$

On remonte à la flèche grâce à la loi de comportement du ressort :

$$v_A = -kY_A = -\frac{\frac{p_0 \ell^5}{15EI}}{\frac{\ell^3 k}{6EI} + 1}$$

$$-\frac{p_0 \ell^5}{15EI} + Y_A \left\{ \frac{\ell^3}{6EI} + \frac{1}{k} \right\} = 0 \rightarrow Y_A = \frac{\frac{p_0 \ell^5}{15EI}}{\frac{\ell^3}{6EI} + \frac{1}{k}}$$

On remonte à la flèche grâce à la loi de comportement du ressort :

$$v_A = -kY_A = -\frac{\frac{p_0 \ell^5}{15EI}}{\frac{\ell^3 k}{6EI} + 1}$$

Si au point A on remplace le ressort par un appui simple mobile cela revient à faire tendre la rigidité du ressort vers l'infini :

$$Y_A = \frac{6p_0 \ell^2}{15} \quad \text{et} \quad v_A = 0$$

